

# Analytické hodnotenie mono[{3-[4-(2-ethoxyethoxy)-benzoyloxy]-2-hydroxypropyl}-izo-propylamónium]fumarátu

IVAN MALÍK<sup>1</sup>, FILS ANDRIAMINTY<sup>1</sup>, EVA SEDLÁROVÁ<sup>1</sup>, JOZEF ČIŽMÁRIK<sup>1</sup>, JANA GALIŠINOVÁ<sup>1</sup>, PETR MOKRÝ<sup>2</sup>, JOZEF CSÖLLE<sup>2</sup>, JANKA KARLOVSKÁ<sup>3</sup>, MILOŠ LUKÁČ<sup>4</sup>

<sup>1</sup>Univerzita Komenského v Bratislave, Farmaceutická fakulta, Katedra farmaceutickej chémie

<sup>2</sup>Veterinárna a farmaceutická univerzita v Brně, Farmaceutická fakulta, Ústav chemických lečiv

<sup>3</sup>Univerzita Komenského v Bratislave, Farmaceutická fakulta, Laboratórium NMR

<sup>4</sup>Univerzita Komenského v Bratislave, Farmaceutická fakulta, Katedra chemickej teórie liečiv

Došlo 13. ledna 2011 / Přijato 23. února 2011

## SÚHRN

### Analytické hodnotenie mono[{3-[4-(2-ethoxyethoxy)-benzoyloxy]-2-hydroxypropyl}-izopropylamónium]fumarátu

Predmetom prezentovanej práce je komplexné spektrálne a fyzikálno-chemické hodnotenie mono[{3-[4-(2-ethoxyethoxy)-benzoyloxy]-2-hydroxypropyl}-izopropylamónium]fumarátu, potenciálneho ultrakrátko pôsobiaceho  $\beta_1$ -blokátora. Totožnosť študovanej substancie (pracovne označenej ako *UPB-1*) bola potvrdená  $^1\text{H}$ - a  $^{13}\text{C}$ -NMR spektrami ako aj IR spektrometriou. Medzi stanovené základné fyzikálno-chemické charakteristiky patrilo určenie teploty topenia, rozpustnosti v spektri rozpuštadiel, overenie čistoty (adsorpčná chromatografia na tenkej vrstve), určenie povrchovej aktivity (Traubeho stalagmometrická metóda), acidobázické charakteristiky (hodnota  $pK_a$  pomocou alkalimetrickej titrácie), určenie hodnôt  $\log \epsilon$  s využitím spektrofotometrie UV/VIS oblasti, ako aj hodnotenie vplyvu kyslého a zásaditého prostredia na stabilitu študovanej látky. Ďalšími experimentálne stanovenými parametrami boli lipohydrofilné charakteristiky pomocou RP-HPLC ( $\log k'$ ), *shake flask* metódou stanovené hodnoty rozdeľovacích koeficientov  $P_{\text{exp}}$  (resp.  $\log P_{\text{exp}}$ ) v rôznych lipohydrofilných prostrediaciach. Na základe  $\log P_{\text{exp}}$  dát sa predikovala schopnosť látky prechádzať cez hematoencefalickú bariéru. Pre stanovenie obsahu *UPB-1* sa použila RP-HPLC (reversed-phase HPLC) metóda vnútorného štandardu a UV/VIS spektrofotometria pri vlnovej dĺžke 260 nm (vodné prostredie) a 258 nm (prostredie metanolu).

**Klíčové slová:**  $\beta_1$ -blokátory – analytické hodnotenie – spektrálna a fyzikálno-chemická charakteristika – stanovenie obsahu

**Čes. slov. Farm. 2011; 60, 84–93**

## SUMMARY

### Analytical evaluation of mono[{3-[4-(2-ethoxyethoxy)-benzoyloxy]-2-hydroxypropyl}-isopropylammonium]fumarate

The present paper deals with a complex spectral and physicochemical evaluation of mono[{3-[4-(2-ethoxyethoxy)-benzoyloxy]-2-hydroxypropyl}-isopropylammonium]fumarate, a potential ultra-short acting  $\beta_1$ -blocker. The identity of the substance under study (labelled as *UPB-1*) was confirmed by  $^1\text{H}$ - and  $^{13}\text{C}$ -NMR spectra as well as IR spectrometry. The determined fundamental physicochemical characteristics included the determination of the melting point, solubility in a spectrum of solvents, verification of purity (adsorption thin-layer chromatography), determination of surface activity (Traube's stalagmometric method), acidobasic characteristics ( $pK_a$  value by means of alkalimetric titration), determination of  $\log \epsilon$  values using spectrophotometry in UV/VIS region, as well as the evaluation of the effect of acid and basic media on the stability of the

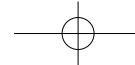
#### Adresa pre korešpondenciu

PharmDr. Ivan Malík, PhD.

Katedra farmaceutickej chémie FaF UK

Odbojárov 10, 832 32 Bratislava, Slovenská republika

e-mail: malik@fpharm.uniba.sk



substance under the study. Other experimentally determined parameters were lipohydrophilic characteristics essayed by means of RP-HPLC ( $\log k'$ ), and the shake-flask method was employed to determine the values of the partition coefficients  $P_{\text{exp}}$  (resp.  $\log P_{\text{exp}}$ ) in different lipohydrophilic media. On the basis of  $\log P_{\text{exp}}$ -data, the ability of the substance to penetrate the hematoencephalic barrier was predicted. To determine the *UPB-I* content, RP-HPLC (reversed-phase HPLC) method of the internal standard and UV/VIS spectrophotometry at the wavelength of 260 nm (aqueous medium) and 258 nm (methanol medium) were used.

**Key words:**  $\beta_1$ -blockers – analytic evaluation – spectral and physicochemical characteristic – content determination

Čes. slov. Farm. 2011; 60, 84–93

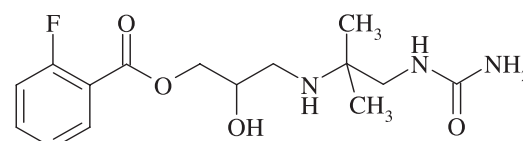
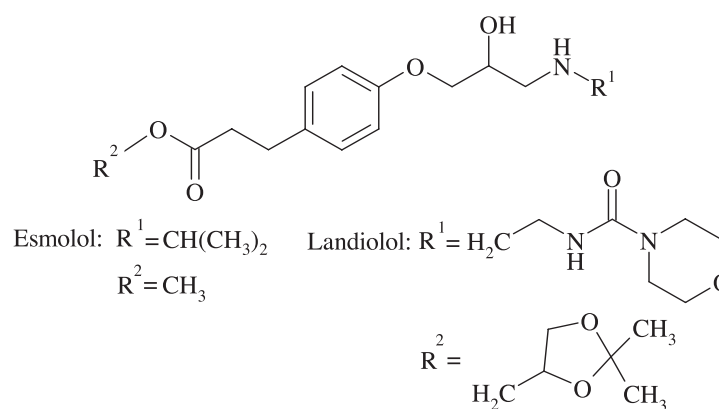
Má

## Úvod

Významné postavenie a s tým súvisiaci benefit  $\beta$ -blokátorov ( $\beta$ B) v terapii hypertenzie, akútneho myokardiálneho infarktu ako aj chronického zlyhávania srdca je dlhodobo známe.  $\beta_1$ -Adrenergéni antagonisty ( $\beta_1$ -AA), ako napríklad propranolol, sú preto využívané na kontrolu tacharytmí a hypertenze na jednotkách intenzívnej starostlivosti.  $\beta$ B sú pomerne bezpečné, relatívne lacné a účinné v monoterapii alebo aj v kombinácii s diuretikami, antagonistami vápnikových kanálov alebo s  $\alpha$ -blokátormi. Konvenené  $\beta$ B sú však kontraindikované u pacientov s astmatickým ochorením a/alebo chronickou obstrukčnou chorobou plúc kvôli súčasnému  $\beta_2$ -blokujúcemu pôsobeniu, čo spôsobuje bronchokonstrikcii<sup>1–3)</sup>. Okrem toho je ich používanie spojené aj s pomerne širokým spektrom nežiaducích účinkov – bradykardiou, hypotensiou, periférnu vazokonstrikciou, insomniou alebo aj depresiou. Preto sa projekcia nových potenciálnych  $\beta$ B sústredzuje na štruktúry s „unikátnymi“ metabolickými a farmakokineticími vlastnosťami s polčasom eliminácie menej ako 10 minút. Zámerom je teda eliminovať už spomínané nežia-

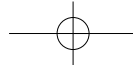
duce účinky relatívne dlho pôsobiacich (rádovo v hodinách)  $\beta$ B s cieľom dosiahnuť a udržať ich klinickú účinnosť<sup>4)</sup>. Prvým extenzívne študovaným a používaným ultrakrátko pôsobiacim  $\beta$ B bol kardioselektívny esmolol (obr. 1) s polčasom eliminácie 9 minút<sup>5)</sup>, ktorý podlieha rýchnej hydrolýze nezávislej od renálnych alebo hepatálnych funkcií, čo je významným aspektom v prípadoch veľmi vážne chorých pacientov s multiorgánovým systémovým zlyhaním<sup>5)</sup>. Landiolol (obr. 1), ďalší ultrakrátko pôsobiaci  $\beta$ B, je rýchlo metabolizovaný sérovými pseudocholínesterázami a karboxyestrázami v pečeni s polčasom eliminácie 4 min<sup>6)</sup>. Neselektívny ultrakrátko pôsobiaci  $\beta$ B flestolol (pracovný názov ACC-9089 (obr. 1), ktorý je rýchlo metabolizovaný na kyselinu *o*-fluórbenzoovú plazmatickými esterázami, má polčas eliminácie približne 6,5 minút<sup>7)</sup>.

Predkladaná práca, analytické hodnotenie mono[3-[4-(2-etoxyethoxy)-benzoyloxy]-2-hydroxypropyl]-izopropylamónium]fumarátu (pracovne označeného ako *UPB-I*), ktoré bolo doplnené aj o niektoré dôležité a potrebné experimentálne stanovené charakteristiky kyseliny *p*-hydroxybenzoovej (pracovne označenej ako



Flestolol

Obr. 1. Chemická štruktúra najznámejších ultrakrátko pôsobiacich  $\beta$ -blokátorov



*p-OHBA*) ako vstupného reaktantu pri syntéze látky *UPB-1*, má za cieľ rozšíriť spektrum poznatkov o (potenciálnych) ultrakrátko pôsobiacich  $\beta$ B z hľadiska určenia ich spektrálnych a fyzikálno-chemických parametrov využiteľných nielen v rámci QSAR štúdií ale aj späťne v projekcii nových potenciálnych liečiv.

## POKUSNÁ ČASŤ

### SPEKTRÁLNA ČASŤ

#### $^1\text{H}$ - a $^{13}\text{C}$ -NMR spektrometria

*Použité chemikálie:* Deuterovaná voda (rozprúšadlo), ako vnútorný štandard bol použitý tetradeutero-3-trimetyl-silylpropionát (Fluka AG, Buchs, Švajčiarsko;  $(\text{CH}_3)_3\text{SiCD}_2\text{COONa}$ ,  $M_r = 172,27$ ). Pripravili sa roztoky hodnotenej substancie *UPB-1* s koncentráciou 2 mg/650  $\mu\text{l}$   $\text{D}_2\text{O}$ .

*Prístroje a zariadenia:* NMR spektrometer Varian Gemini 2000 (Varian, New Jersey, USA), magnet Oxford 300 MHz (Oxford, Veľká Británia).

*Parametre pri meraní  $^1\text{H-NMR}$  spektier:* Rozsah = 13 – 1 ppm, aktivačný čas = 3 s, počet akvizícií = 32, delay = 1 s, pracovná teplota = 20 °C.

*Parametre pri meraní  $^{13}\text{C-NMR}$  spektier:* Rozsah = 240 – 20 ppm, aktivačný čas = 1,815 s, počet akvizícií = 10 000, delay = 1 s, pracovná teplota = 20 °C.

$^1\text{H-NMR}$  (300 MHz)  $\delta$  (ppm): 1,24 (t, 3H,  $\text{CH}_2\text{CH}_3$ ,  $J = 7,0$  Hz); 1,29–1,34 (d-d, 6H,  $\text{CH}(\text{CH}_3)_2$ ,  $J = 6,5$  Hz); 2,96–3,06 (m, 2H,  $\text{CH}_2\text{NH}_2^+\text{CH}(\text{CH}_3)_2$ ); 3,24 (kvi, 1H,  $\text{NH}_2^+\text{CH}(\text{CH}_3)_2$ ,  $J = 6,4$  Hz); 3,56–3,63 (kva, 2H,  $\text{CH}_2\text{CH}_3$ ,  $J = 7,0$  Hz); 3,79 (t, 2H,  $\text{CH}_2\text{OCH}_2\text{CH}_2$ ,  $J = 4,6$  Hz); 4,15 (t, 2H,  $\text{CH}_2\text{CH}_2\text{OAr}$ ,  $J = 4,7$  Hz); 4,22–4,39 (m, 2H,  $(\text{OH})\text{CHCH}_2\text{NH}_2^+$ ); 4,40–4,50 (m, 1H,  $\text{CH}(\text{OH})$ ); 6,63 (s, 1/2, fumarát, 1H,  $\text{CH} = \text{CH}$ ); 6,90; 6,93 (d, 2H,  $\text{OArH}$ ,  $J = 8,8$  Hz); 7,56 (broad peak, 3H,  $(\text{OH})\text{NH}_2^+$ ); 7,94; 7,97 (d, 2H,  $\text{ArHCOO}$ ,  $J = 8,8$  Hz).

$^{13}\text{C-NMR}$  (75 MHz)  $\delta$  (ppm): 15,13 ( $\text{CH}_3\text{CH}_2\text{O}$ ); 19,30; 19,72 ( $\text{NH}_2^+(\text{CH}_3)_2$ ); 48,05 ( $\text{CH}(\text{CH}_3)_2$ ); 50,47 ( $\text{CH}_2\text{NH}_2^+$ ); 65,30; 66,09; 66,90; 67,59; 68,70 ( $(\text{OH})\text{CHCH}_2$ ,  $\text{CH}_3\text{CH}_2\text{OCH}_2\text{CH}_2\text{O}$ ); 114,28 (2C,  $\text{OCArC}_2$ ); 122,08 (1C,  $\text{ArCCOO}$ ); 131,72 (2C,  $\text{ArC}_2\text{CCOO}$ ); 136,12 (fumarát,  $\text{CH} = \text{CH}$ ); 162,80 (1C,  $\text{OArC}$ ); 166,06 ( $\text{COO}$ ); 173,11 (fumarát,  $\text{COO}^-$ ).

#### IR spektrometria

*Prístroje a zariadenia:* Spektrometer FTIR IMPACT 400D (NICOLET), merané technikou kapilárneho filmu alebo v KBr-tabletách v koncentráции 2–3 mg látky *UPB-1*/800 mg KBr.

IR  $\text{cm}^{-1}$ :  $\nu_{\text{as}}(\text{C-H})$ : 2975;  $\nu_s(\text{C-H})$ : 2875;  $\nu(\text{C=O})$ : 1704;  $\nu_{\text{as}}(\text{C=C})$ : 1606;  $\delta(\text{N-H})$ : 1508;  $\delta(\text{CH}_2)$ : 1462;  $\nu(\text{C-N})_{\text{sek. N}}^{\text{sekol.}}$ : 1353, 1280;  $\nu_{\text{as}}(\text{C-O-C})$ : 1169 (1112);  $\nu(\text{C-O})_{\text{es}}$ : 1254, 1054;  $\gamma(\text{C-H})$ : 765, 659; v IR spektre nebola nepozorovaná vibrácia  $\nu(\text{NH}_2^+)$  – predpokladaná

približne okolo 2700;  $\delta(\text{NH}_2^+)$ : 1600 – 1575 v prekryve;  $\nu(\text{C-OH})$ : skryté v oblasti 1450–1500.

#### Spektrofotometria v UV/VIS oblasti

*Použité chemikálie:* Destilovaná voda, metanol *p.a.* (CentralChem, Bratislava, SR).

*Príprava roztokov:* Pripravili sa roztoky <sup>8)</sup> študovanej látky *UPB-1* vo vode a v metanole s  $c = 1 \times 10^{-5}$  mol.l<sup>-1</sup> ako aj roztok *p-OHBA* v metanole s  $c = 3 \times 10^{-5}$  mol.l<sup>-1</sup>.

*Prístroje a zariadenia:* Analytické váhy Chyo JL-180 (Chyo Balance Corporation, Japonsko), UV/VIS spektrofotometer (8452 A, diode array spectrophotometer, typ Vectra 286/12) s kremennými kyvetami hrúbky 1 cm, osobný počítač, vyhodnocovací softvér (HP 845 × UV-Visible System).

*Pracovný postup:* Absorpčné spektrum *UPB-1* sa meralo v destilovanej vode ako aj v metanole, absorpcné spektrum *p-OHBA* bolo merané v metanole. Na základe Lambert-Beerovho zákona sa vypočítali hodnoty  $\epsilon$ , resp.  $\log \epsilon$  pre všetky absorpčné maximá v obidvoch médiach.

*UPB-1*, vodné prostredie – UV  $\lambda_{\text{max}}$  nm (absorbancia;  $\log \epsilon$ ): 198 (1,17790; 5,07), 260 (0,76744; 4,89). *UPB-1*, metanolové prostredie – UV  $\lambda_{\text{max}}$  nm (absorbancia;  $\log \epsilon$ ): 210 (0,86716; 4,94), 258 (0,90437; 4,96). *p-OHBA*, metanolové prostredie – UV  $\lambda_{\text{max}}$  nm (absorbancia;  $\log \epsilon$ ): 214 (0,74230; 4,39), 252 (1,09170; 4,56).

## ANALYTICKÁ ČASŤ

### Stanovenie teploty topenia

*Prístroje a zariadenia:* STUART SMP 11 (Lennox Laboratory Suppliers, Dublin, Írsko).

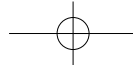
*Pracovný postup:* Teplota topenia *UPB-1* bola stanovená po 24-h sušení v exsikátore nad  $\text{P}_2\text{O}_5$  pri tlaku 10 kPa a laboratórnej teplote, jej nekorigované hodnoty sú uvedené v tabuľke 1.

### Stanovenie rozpustnosti

*Použité chemikálie:* Destilovaná voda, metanol *p.a.* (CentralChem, Bratislava, SR), lieh 96 % (Lachema, Brno, ČR), kyselina chlorovodíková s  $c = 0,1$  mol.l<sup>-1</sup> (CentralChem, Bratislava, SR), hydroxid sodný s  $c = 0,1$  mol.l<sup>-1</sup> (CentralChem, Bratislava, SR), chloroform *p.a.* (CentralChem, Bratislava, SR), acetón *p.a.* (CentralChem, Bratislava, SR), dietyléter *p.a.* (CentralChem, Bratislava, SR), dimethylsulfoxid *p.a.* (Lachema, Brno, ČR).

*Prístroje a zariadenia:* Analytické váhy Chyo JL-180 (Chyo Balance Corporation, Japonsko).

*Pracovný postup:* Rozpustnosť študovanej látky *UPB-1* a *p-OHBA* bola stanovená <sup>9)</sup> podľa SL 1. Návažok látky, resp. látok predstavoval jednotlivé 0,0100 g pre všetky rozpúšťadlá. Postupne sa hodnotila ich rozpustnosť v destilovanej vode, v metanole, v liehu 96 %, v kyseline chlorovodíkovej s  $c = 0,1$  mol.l<sup>-1</sup>, v hydroxide



Tab. 1. Základná charakteristika mono/[3-[4-(2-etoxyethoxy)-benzoyloxy]-2-hydroxypropyl]-izopropylamónium]fumarátu (pracovné označenie UPB-1)

Sumárny vzorec (báza)	$M_r$ (báza)	Sumárny vzorec (sol)	$M_r$ (sol)	$t_f$ (°C)
$C_{17}H_{27}NO_5$	325,41	$C_{25}H_{35}NO_{13}$	766,89	104–106

sodnom s  $c = 0,1 \text{ mol.l}^{-1}$ , v chloroforme, v acetóne, v dietyléteri a v dimethylsulfoxide pri laboratórnej teplote. Objem pridávaných rozpúšťadiel bol adekvátnie upravený vzhľadom na zvolený návažok.

#### Stanovenie hodnoty $R_f$ pomocou adsorpčnej chromatografie na tenkej vrstve

**Použité chemikálie:** Lieh 96 % (Lachema, Brno, ČR), benzén *p.a.* (Lachema, Brno, ČR), dietylamín *p.a.* (Merck, Schudart, SRN), petroléter *p.a.* (Lach-Ner, Neratovice, ČR), dietyléter *p.a.* (CentralChem, Bratislava, SR), acetón *p.a.* (Spolchim, Bratislava, SR), propán-1-ol *p.a.* (Plichem, Darmstadt, SRN), cyklohexán *p.a.* (Lach-Ner, Neratovice, ČR), chloroform *p.a.* (CentralChem, Bratislava, SR), toluén *p.a.* (Lachema, Brno, ČR), etylacetát *p.a.* (CentralChem, Bratislava, SR).

**Materiál, prístroje a zariadenia:** Silufol® UV<sub>254</sub> s vrstvou silikagélu s rozmermi  $200 \times 200 \text{ mm}$  (nastríhaný na vhodne veľké časti), sklenené komory s rozmermi  $190 \times 180 \times 80 \text{ mm}$ , mikrokapilára (Hamilton Bonaduz, Švajčiarsko), UV-lampa (KRUSS UV 240, 230VAC, Hamburg, SRN).

**Pracovný postup:** Na komerčne vyrábané fólie Silufol® UV<sub>254</sub> s vrstvou silikagélu sa na vyznačený štart mikrokapilárou naniesli  $2 \mu\text{l}$   $1 \%$  roztoku hodnotenej zlúčeniny UPB-1 a „štandardu“ *p-OHBA* v metanole *p.a.* Po ukončení vyvijania sa chromatogramy sušili pri laboratórnej teplote a detegovali sa pod UV-lampou pri vlnovej dĺžke  $254 \text{ nm}$ <sup>8)</sup>. Výsledné hodnoty sú priemerom zo šiestich paralelných stanovení (pozri časť *Výsledky a diskusia*).

Skúšanými vyvíjacími sústavami boli:  $S_1$ : petroléter : dietyléter ( $\varphi = 1 : 2$  ako aj  $2 : 1$ );  $S_2$ : acetón : petroléter ( $\varphi = 2 : 3$ );  $S_3$ : acetón : toluén ( $\varphi = 1 : 2$ );  $S_4$ : acetón : toluén : dietylamín : chloroform ( $\varphi = 1 : 2 : 0,5 : 1$ );  $S_5$ : petroléter : dietylamín ( $\varphi = 8 : 2$  ako aj  $8 : 3$ );  $S_6$ : propán-1-ol : cyklohexán ( $\varphi = 1 : 1$ );  $S_7$ : etanol : benzén ( $\varphi = 10 : 3$ );  $S_8$ : chloroform : dietylamín ( $\varphi = 6 : 0,1$ );  $S_9$ : propán-1-ol : cyklohexán : dietylamín ( $\varphi = 5 : 5 : 0,1$  ako aj  $5 : 5 : 1$ );  $S_{10}$ : acetón : petroléter : dietylamín ( $\varphi = 8 : 8 : 0,1$  ako aj  $8 : 8 : 1$ );  $S_{11}$ : etanol : benzén : dietylamín ( $\varphi = 10 : 3 : 0,1$ );  $S_{12}$ : chloroform : cyklohexán : dietylamín ( $\varphi = 6 : 3 : 1$ );  $S_{13}$ : hexán : etylacetát ( $\varphi = 7 : 3$ ). Najoptimálnejšie hodnoty  $R_f$  pre UPB-1 a *p-OHBA* boli získané v sústave  $S_{11}$ .

#### Stanovenie povrchového napäcia

**Použité chemikálie:** Destilovaná voda, metanol *p.a.* (CentralChem, Bratislava, SR).

**Prístroje a zariadenia:** Analytické váhy Chyo JL-180 (Chyo Balance Corporation, Japonsko), sklenený Traubeho stalagmometer (Kavalier, ČR).

**Pracovný postup:** Povrchové napätie UPB-1 bolo stanovené, podobne ako v práci<sup>8)</sup>, nepriamou stalagmometrickou metódou počítania kvapiek. Použitý bol sklenený Traubeho stalagmometer (Kavalier, ČR). Prípravil sa roztok UPB-1 s  $c = 1 \times 10^{-3} \text{ mol.l}^{-1}$ . Ako referenčná kvapalina sa použila destilovaná voda, ktorej povrchové napätie je  $0,07259 \text{ N.m}^{-1}$  pri teplote  $t = 21^\circ\text{C}$ .

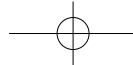
#### Stanovenie disociačnej konštanty

**Použité chemikálie:** Destilovaná voda, hydroxid sodný s  $c = 0,1 \text{ mol.l}^{-1}$  (CentralChem, Bratislava, SR), metanol *p.a.* (CentralChem, Bratislava, SR).

**Prístroje a zariadenia:** Analytické váhy Chyo JL-180 (Chyo Balance Corporation, Japonsko), automatická byreta OP 930, digitálny pH-meter (HANNH Instruments HI 221, SRN), mikropipeta, elektromagnetické miešadlo (Laboratorní přístroje, Praha, ČR).

**Príprava roztokov:** Roztok hodnotenej látky UPB-1 bol pripravený rozpustením  $0,025 \text{ g}$  substancie v destilovanej vode na objem  $50,0 \text{ ml}$ ; *p-OHBA* bola rozpustená ( $0,025 \text{ g}$ ) v zmesi destilovaná voda : metanol ( $\varphi = 3 : 2$ ) na objem  $50,0 \text{ ml}$ .

**Pracovný postup:** Disociačná konštantá UPB-1 (ako aj *p-OHBA*) bola stanovená potenciometricky alkaliometrickou titráciou pomocou automatickej byrety OP 930 spojenej s digitálnym pH-metrom. Konštantný prípravok odmerného roztoku hydroxidu sodného s  $c = 0,1 \text{ mol.l}^{-1}$  predstavoval  $0,005 \text{ ml}$ . Titracia prebiehala pri teplote  $21^\circ\text{C}$ . Zaznamenali sa hodnoty pH titrovaného roztoku, resp. roztokov v závislosti od pridaného množstva hydroxidu sodného. Po ukončení titrácie sa interpolačným stupňom podľa Hahna zistila presná spotreba odmerného roztoku a hodnota pri polovičnej spotrebe<sup>8)</sup>. Z priebehu potenciometrickej titrácie sa podľa vhodnej polynomickej funkcie v programe Statistica 8.0 (Stat Soft, Tulsa, USA) pomocou

Tab. 2. Retenčný faktor  $k'$  študovanej substancie UPB-1 a p-OHBA získaný z RP-HPLC v prostredí 90% metanolu

Pracovné označenie	$k'$				$\log k'$			
	I. <sup>*</sup>	II.	III.	Priemer	I.	II.	III.	Priemer
UPB-1	0,85	0,85	0,85	0,85	-0,071	-0,071	-0,071	-0,071
p-OHBA	0,01	0,01	0,01	0,01	-2,153	-2,153	-2,153	-2,153

\*číslo merania

Tab. 3. Retenčný faktor  $k'$  študovanej substancie UPB-1 a p-OHBA získaný z RP-HPLC v prostredí 95% metanolu

Pracovné označenie	$k'$			$\log k'$				
	I. <sup>*</sup>	II.	III.	priemer	I.	II.	III.	priemer
UPB-1	1,03	1,03	1,03	1,03	0,015	0,015	0,015	0,015
p-OHBA	0,32	0,32	0,32	0,32	-2,643	-2,643	-2,643	-2,643

\*číslo merania

$V_{1/2}$  vypočítala disociačná konštantu. Výsledná hodnota  $pK_a$  pre UPB-1 ako aj p-OHBA v časti Výsledky a diskusia je prezentovaná ako priemer troch paralelných stanovení.

#### Stanovenie logaritmu retenčného faktora $k'$ z RP-HPLC

**Použité chemikálie:** Dusitan sodný s c = 0,1 mol.l<sup>-1</sup>, metanol p.a. (CentralChem, Bratislava, SR), nátriumacetát (Lachema, Brno, ČR) na úpravu hodnoty pH mobilnej fázy.

**Prístroje a zariadenia:** Chromatograf s vysokotlakovou pumpou Delta Chrom SDS 030, (WATREX, SR), slučkový dávkovač s 20-μl slučkou (WATREX, SR), kolóna s nepolárnu chemicky viazanou fázou Separon SGX C<sub>18</sub> 7 μm, 250 × 4 mm (Lachema, Brno, ČR), prietokový UV-detektor Delta Chrom UVD 200 (WATREX, SR).

**Pracovný postup:** Hodnota retenčného faktora  $k'$  (v literatúre uvádzaný aj ako kapacitný faktor  $k'$ ) bola stanovená podľa práce<sup>10)</sup> na kvapalinovom chromatografe s vysokotlakovou pumpou, so slučkovým dávkovačom, nepolárnu chemicky viazanou fázou a prietokovým UV-detektorm. Pre študovanú látku UPB-1 a „štandard“ p-OHBA boli použité dve mobilné fázy s rozdielnym percentuálnym zastúpením metanolu, t.j. 90 % a 95 % (pripravené z metanolu p. a. a destilovaných vod).

#### Chromatografické podmienky:

A. Mobilná fáza (pH = 6,0) – 90 % metanol upravený vodným roztokom nátriumacetátu; prietoková rýchlosť – 0,6 ml.min<sup>-1</sup>; tlak – 7,9 MPa; vlnová dĺžka – 260 nm; pracovná teplota – 21 až 22 °C.

B. Mobilná fáza (pH = 6,0) – 95 % metanol upravený vodným roztokom nátriumacetátu; prietoková rýchlosť – 0,6 ml.min<sup>-1</sup>; tlak – 5,9 MPa; vlnová dĺžka – 260 nm; pracovná teplota – 21 až 22 °C.

Mŕtvy čas kolóny ( $t_0$ ) sa stanovil roztokom dusitanu sodného s c = 0,1 mol.l<sup>-1</sup>, ktorý mal v použitom systéme nulovú retenciu. Hodnota(-y) log  $k'$  boli vypočítané zo

vzťahu:  $\log k' = \log [(t_R - t_0) / t_0]$ , kde  $t_0$  je retenčný čas roztoku dusitanu sodného s c = 0,1 mol.l<sup>-1</sup> a  $t_R$  je retenčný čas roztoku vzorky<sup>10)</sup>.

Roztoky UPB-1 a p-OHBA boli pripravené rozpustením 0,005 g príslušnej substancie v metanole a upravené na objem 25,0 ml. Po odvzdušnení mobilnej fázy bol chromatografický systém premývaný približne 20 min. Prvé dva nástreky bol roztok dusitanu sodného, potom sa aplikovali roztoky študovaných látok (20 μl). Každá vzorka bola aplikovaná trikrát<sup>10)</sup>, pre výpočet sa použila priemerná hodnota  $t_R$ . Získané hodnoty sú uvedené v tabuľkách 2 a 3.

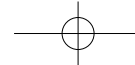
#### Stanovenie rozdeľovacieho koeficientu a výpočet niektorých molekulových deskriptorov

**Použité chemikálie:** Oktán-1-ol p.a. (Merck, Schudardt, SRN), heptán p.a. (Mikrochem, Bratislava, SR), cyklohexán p.a. (Lach-Ner, Neratovice, ČR), roztok kyseliny citrónovej s c = 0,1 mol.l<sup>-1</sup> (Chemapol, Praha, ČR), hydrogenfosforečnan disodný p.a. s c = 0,2 mol.l<sup>-1</sup> (Lachema, Brno, ČR).

**Prístroje a zariadenia:** Analytické váhy Chyo JL-180 (Chyo Balance Corporation, Japonsko), mechanická trepačka (Laboratórní přístroje, Praha, ČR), UV/VIS spektrofotometer (pozri UV/VIS spektrofotometriu).

**Príprava roztokov:** Tlmivý roztok s hodnotou pH = 7,2 sa pripravil zmiešaním 20,8 ml roztoku kyseliny citrónovej a 195,2 ml roztoku hydrogenfosforečnanu disodného, a potom sa hodnota pH upravila na 7,4. Základný roztok skúšanej látky UPB-1 sa pripravil navážením 0,100 g zlúčeniny a prenesol sa do 50-ml odmernej banke. Rozpustil sa v 30–40 ml tlmivého roztoku<sup>8, 10)</sup> a po ochladení sa doplnil týmto roztokom na objem 50 ml.

**Pracovný postup:** Rozdeľovací koeficient  $P_{exp}$  študovanej zlúčeniny UPB-1 bol stanovený experimentálne klasickou shake flask metódou jej vytrepaním medzi dve nemiešateľné fázy tak, ako sa postupovalo aj v prá-<sup>8, 10)</sup>cach. Lipofilnú fázu reprezentoval postupne oktán-1-ol, heptán, cyklohexán a ako vodná fáza bol použitý tlmivý fosforečnanový roztok (TFR) s hodnotou



pH = 7,4. U analyzovanej substancie UPB-1 sa vykonali v každom deliacom systéme tri paralelné stanovenia.

**Výpočet niektorých molekulových deskriptorov.**  
Hodnota polárneho povrchu molekuly (PSA) a počtu akceptorov vodíkov ( $n_{\text{acc}}$ ) pre UPB-1 (forma bázy) bola generovaná programom ChemBioDraw Ultra 11 (CambridgeSoft Corporation, Cambridge, USA); PSA = 77,02;  $n_{\text{acc}} = 6$ .

### Stabilita študovanej substancie UPB-1

#### Pôsobenie kyslého prostredia (kyselina chlorovodíková s $c = 0,1 \text{ mol.l}^{-1}$ )

**Použité chemikálie:** Metanol p.a. (CentralChem, Bratislava, SR), lieh 96 % p.a. (Lachema, Brno, ČR), benzén p.a. (Lachema, Brno, ČR), diethylamín p.a. (Merck, Schudart, SRN).

**Pracovný postup:** Pripravilo sa 5 ml 1 % metanolového(-ých) roztoku(-ov) UPB-1 a „štandardu“ p-OHBA, z ktorých sa odobral 1 ml, pridal sa 1 ml kyseliny chlorovodíkovej s  $c = 0,1 \text{ mol.l}^{-1}$ . Po 5 min sa roztoky hodnotili chromatograficky na TLC. Na fóliu Silufol UV<sub>254</sub> sa 1,5 cm od spodného okraja naneslo 5 µl roztokov UPB-1 a p-OHBA. Po vyvinutí vo vyvíjacej sústave  $S_{11}$  sa chromatogram vysušil a detegoval pod UV-lampou pri 254 nm. Získané hodnoty  $R_f$  (priemer troch paralelných stanovení) sú uvedené v tabuľke 4.

Tab. 4. Hodnotenie stability UPB-1 v kyslom a zásaditom prostredí pomocou adsorpčnej TLC

Pracovné označenie	Prostredie HCl* ( $c = 0,1 \text{ mol.l}^{-1}$ )	Prostredie NaOH* ( $c = 0,1 \text{ mol.l}^{-1}$ )
UPB-1	0,34	0,32
p-OHBA	0,69	0,65
X1	0,49	0,45
X2	0,83	0,81

\*hodnoty  $R_f$  určené v sústave  $S_{11}$ : etanol : benzén : diethylamín ( $\phi = 10 : 3 : 0,1$ )

#### Pôsobenie zásaditého prostredia (hydroxid sodný s $c = 0,1 \text{ mol.l}^{-1}$ )

**Pracovný postup:** Rovnako ako v prípade hodnotenia stability v kyslom prostredí, ale namiesto kyseliny chlorovodíkovej s  $c = 0,1 \text{ mol.l}^{-1}$  sa použil hydroxid

sodný s rovnakou koncentráciou. Získané hodnoty  $R_f$  (priemer troch paralelných stanovení) sú uvedené v tabuľke 4.

#### Pôsobenie UV/VIS žiarenia

**Pracovný postup:** Pripravil sa vodný a metanolový roztok UPB-1 s  $c = 1 \times 10^{-5} \text{ mol.l}^{-1}$ . V priebehu 1 h sa v 5-min intervaloch sledovali (prípadné) posuny vo vlnových dĺžkach absorpcných máxim ako aj (prípadné) zmeny v absorbanciach pri jednotlivých absorpcných maximach v obidvoch zvolených prostrediach.

#### Stanovenie obsahu UPB-1

##### Stanovenie obsahu UPB-1 v UV/VIS oblasti spektra

**Prístroje a zariadenia:** Pozri UV/VIS spektrofotometriu.

**Pracovný postup:** Pripravil sa 0,002 % roztok, resp. roztoky UPB-1 vo vode ako aj v metanole, ktorých spektrum sa zaznamenalo v oblasti 190–400 nm proti čistému rozpúšťadlu. Zo zásobného roztoku (0,002 %) UPB-1 sa odpipetovalo postupne 2, 4, 6, 8, 10 ml do piatich 10-ml odmerných baniek. Všetky odmerné banky sa doplnili po značku vodou, resp. metanolom a zaznamenala sa absorbancia takto pripravených roztokov <sup>8)</sup>. Z nameraných hodnôt  $A$  ( $\log A$ ) sa zostrojila kalibračná krivka; vo vodnom prostredí pri vlnovej dĺžke  $\lambda_{\text{max}} = 260 \text{ nm}$ , v metanolovom prostredí pri  $\lambda_{\text{max}} = 258 \text{ nm}$ . Hodnoty koncentrácií, absorbancií a  $\log A$  sú uvedené v tabuľke 5.

**Vyhodnotenie výsledkov:** Obsah UPB-1 sa stanovil z funkcie priamky ( $y = a x + b$ ). Po zostrojení kalibračnej krivky a štatistikom vyhodnotení jednotlivé symboly znamenajú:  $y = A$  (absorbancia),  $b = a_0$  (úsek na osi  $y$ ),  $a = a_1$  (smernica priamky),  $x = c$ . Z týchto vzťahov vyplýva, že koncentrácia sa vypočíta podľa vzťahu:  $c = (A - a_0)/a_1$ .

#### Stanovenie obsahu UPB-1 RP-HPLC metodou vnútorného štandardu

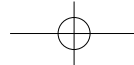
**Použité chemikálie:** Metanol UV (Lachema, Brno, ČR), nátriumacetát tavený čistý (Spolana, Neratovice, ČR), vnútorný štandard – p-OHBA.

**Prístroje a zariadenia:** Pozri stanovenie retenčného faktora  $k'$  pomocou RP-HPLC.

**Chromatografické podmienky:** Mobilná fáza ( $\text{pH} = 6,0$ ) – 90 % metanol upravený roztokom nátriumacetátu;

Tab. 5. Parametre potrebné na zostrojenie kalibračnej krivky pre stanovenie obsahu UPB-1 vo vodnom a metanolovom prostredí pomocou UV/VIS spektrometrie

$c \text{ (mol.l}^{-1})$	Destilovaná voda			Metanol		
	$\lambda \text{ (nm)}$	$A$	$\log A$	$\lambda \text{ (nm)}$	$A$	$\log A$
$5,200 \times 10^{-6}$	260	0,21428	-0,66902	258	0,23018	-0,63793
$1,040 \times 10^{-5}$	260	0,43454	-0,36197	258	0,45654	-0,34052
$1,560 \times 10^{-5}$	260	0,61581	-0,21055	258	0,68297	-0,16560
$2,080 \times 10^{-5}$	260	0,82121	-0,08555	258	0,89954	-0,04598
$2,607 \times 10^{-5}$	260	1,04250	0,01808	258	1,10730	0,04427



Tab. 6. Parametre potrebné na zostrojenie kalibračnej krivky pre stanovenie obsahu UPB-1 pomocou RP-HPLC

V* (ml)	c (mol.l <sup>-1</sup> )	P <sub>1</sub> (UPB-1)**	P <sub>2</sub> (p-OHBA)**	P <sub>1</sub> /P <sub>2</sub>
1	4,1726 × 10 <sup>-5</sup>	2412,0939	5954,6342	0,405078
2	8,3452 × 10 <sup>-5</sup>	4606,6765	6002,8474	0,767415
3	1,2518 × 10 <sup>-4</sup>	8857,8866	6026,6103	1,469796
4	1,6691 × 10 <sup>-4</sup>	12062,7966	6127,9547	1,968487
6	2,5036 × 10 <sup>-4</sup>	17551,8224	6120,5693	2,867678

\*objem pridaného základného roztoku UPB-1 (0,02 g/25 ml)

\*\*plocha príslušných píkov formovaných UPB-1 (P<sub>1</sub>) a p-OHBA (P<sub>2</sub>)

prieková rýchlosť – 0,6 ml.min<sup>-1</sup>; tlak – 7,7 MPa; vlnová dĺžka – 248 nm; pracovná teplota – 21 °C.

*Pracovný postup:* Pripravil sa roztok UPB-1 navážením množstva 0,02 g substancie, ktoré sa kvantitatívne preneslo do 25-ml odmernej banky a rozpustilo sa v metanole (zásobný roztok). Z tohto zásobného roztoku sa odpipetovalo do 25-ml odmerných baniek postupne po 1, 2, 3, 4, 6, 8, 10 ml, pridalo sa 5 ml vnútorného štandardu (pripraveného navážením 0,01 g p-OHBA, ktoré sa kvantitatívne preneslo do 25-ml odmernej banky a doplnilo sa po značku metanolom) a doplnilo sa metanolom po značku<sup>10)</sup>. Pomocou dávkovacieho ventilu sa z takto pripravených roztokov na kolónu nanášal objem 20 µl.

*Vyhodnotenie výsledkov:* Z pamäti počítača bol vyvolaný záznam analýzy vzorky, integrovali a opísali sa plochy zodpovedajúce analyzovanej látke (P<sub>1</sub>) a jej vnútornému štandardu (P<sub>2</sub>). Výsledky analýz<sup>10)</sup> sa vypočítali z pomeru plôch píkov P<sub>1</sub>/P<sub>2</sub> (tab. 6).

## VÝSLEDKY A DISKUSIA

Hodnotená zlúčenia s pracovným označením UPB-1, chemicky mono[{3-[4-(2-ethoxyethoxy)-benzoyloxy]-2-hydroxypropyl}-izopropylamónium]fumarát, bola pripravená na ústave chemických lečív FaF VFU v Brne. Ide o bielu kryštallickú látku, ktorej chemická štruktúra, sumárny vzorec (bázická forma ako aj forma soli), M<sub>r</sub> a interval teploty topenia (nekorigovaná hodnota) sú uvedené v tabuľke 1. Súbežne s UPB-1 bola pre porovnanie študovaná aj kyselina p-hydroxybenzoová (p-OHBA) ako vstupná reagencia použitá pri syntéze UPB-1.

Chemická štruktúra UPB-1 bola potvrdená príslušnými spektrálnymi metódami. V <sup>1</sup>H- a <sup>13</sup>C-NMR spektre boli identifikované signály, ktoré prislúchali alkylovým refazcom, resp. jednotlivým atómov uhlíka v lipofilnej časti ako aj v bázickej oblasti molekuly. Taktiež bol identifikovaný a priradený signál protónu OH-skupiny (v 2-hydroxypropán-1,3-diylovom zoskupení), signály protónov aromatického jadra ako aj signály, ktoré identifikovali aniónovú zložku – fumarát (pozri spektrálnu charakteristiku v *Pokusnej časti*). Pomocou IR spektrometrie bola potvrdená prítomnosť alkylového substituenta, lipofilného aromatického jadra, karboxylovej, resp. oxoskupiny a bázického fragmentu. Pás IR spektra valenčnej vibrácie (C = O)-skupin

piny pri 1704 cm<sup>-1</sup> sa môže pri UPB-1 využiť pre kvantitatívne hodnotenie.

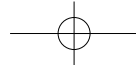
Na základe štúdia rozpustnosti je UPB-1 relatívne hydrofilná – je veľmi ľahko rozpustná v kyseline chlorovodíkovej s c = 0,1 mol.l<sup>-1</sup>, ľahko rozpustná v destilované vode, v hydroxide sodnom s c = 0,1 mol.l<sup>-1</sup> a v dimetyl sulfoxide, mierne rozpustná v metanole, v liehu 96 % a v chloroforme a veľmi ľahko rozpustná v acetóne a v dietyléteri. Na porovnanie ako aj z pohľadu ďalšieho fyzikálno-chemického hodnotenia bola určená aj rozpustnosť p-OHBA. Tá je veľmi ľahko rozpustná v metanole, v liehu 96 %, v dimethylsulfoxide a v acetóne, ľahko rozpustná v dietyléteri a v hydroxide sodnom s c = 0,1 mol.l<sup>-1</sup>, mierne rozpustná v kyseline chlorovodíkovej s c = 0,1 mol.l<sup>-1</sup>, ľahko rozpustná v destilovanej vode a v chloroforme.

Na orientačné hodnotenie čistoty UPB-1 bola okrem RP-HPLC použitá adsorpčná chromatografia na tenkej vrstve – delenie látok na adsorpčnom princípe sa uskutočnilo na platniach Silufol®, vyvíjanie prebiehalo do vzdialenosť 10 cm. Súčasne s UPB-1 bola chromatograficky hodnotená aj p-OHBA. Z mnohých vyskúšaných dvoj- a trojzložkových vyvíjacích sústav bola ako najvhodnejšia vyhodnotená sústava S<sub>11</sub>: etanol : benzén : dietylamin (φ = 10 : 3 : 0,1). V systéme S<sub>11</sub> nastalo jednoznačné oddelenie ohraničených škvŕn prislúchajúcich UPB-1 (R<sub>f</sub> = 0,29) a p-OHBA (R<sub>f</sub> = 0,58), pričom na príslušnom „stĺpcí“ UPB-1 neboli pozorované iné škvŕny.

Povrchové napätie bolo študované nepriamou Traubeho stalagmometrickou metódou počítania kvapiek – UPB-1 (γ = 0,06954 N.m<sup>-1</sup>) ako aj p-OHBA (γ = 0,06969 N · m<sup>-1</sup>) boli mierne povrchovoaktívne, pričom povrchovoaktívnejšia bola substancia UPB-1.

Na štúdium acidobázických vlastností bola použitá metoda alkaliometrickej titrácie (roztok hydroxidu sodného s c = 0,1 mol.l<sup>-1</sup>) pri potenciometrickej indikácii bodu ekvivalencie. Študovaná zlúčenina UPB-1 mala mierne kyslý charakter (pK<sub>a</sub> = 5,71), pre porovnanie (resp. určitú „verifikáciu“ stanovenia pK<sub>a</sub>) bola určená aj disociačná konštanta p-OHBA, ktorej hodnota predstavovala 4,38 (tri paralelné stanovenia); literatúra<sup>11, 12)</sup> uvádza údaj 4,48–4,54.

Pri štúdiu spektier v UV/VIS oblasti vykazovala UPB-1 dve absorpcné maximá (viď *Pokusnú časť*). Vo vodnom roztoku sú to maximá pri λ<sub>1max</sub> = 198 nm a λ<sub>2max</sub> = 260 nm, v prostredí metanolu nastal mierny posun – absorpcné maximá boli zistené pri λ<sub>1max</sub> = 210 nm a λ<sub>2max</sub> = 258 nm. V porovnaní s absorp-



Tab. 7. Parametre lineárnej regresie pre stanovenie obsahu UPB-1

Metóda stanovenia	$a (\pm s_a)$	$b (\pm s_b)$	$F$	$n$
UV/VIS spektrofotometria (vodné prostredie)	39187 ( $\pm$ 683)	0,01 ( $\pm$ 0,01)	3288	5
UV/VIS spektrofotometria (metanolové prostredie)	42139 ( $\pm$ 514)	0,02 ( $\pm$ 0,01)	6728	5
RP-HPLC	12142 ( $\pm$ 596)	-0,13 ( $\pm$ 0,09)	415	6

$a$  – regresný koeficient, smernica priamky;  $b$  – regresný koeficient, posunutie priamky na osi  $y$ ;  $s_a$ ,  $s_b$  – smerodajná odchýlka regresného koeficienta  $a$  alebo  $b$ ;  $F$  –  $F$ -test na testovanie štatistických hypotéz (štatistická indukcia);  $n$  – počet prípadov

ným spektrom *p-OHBA* (absorpčné maximá pri  $\lambda_{1\text{max}} = 214$  nm a  $\lambda_{2\text{max}} = 252$  nm v metanole) je možné pozorovať mierny posun obidvoch máxim, ktorý je spôsobený charakterom substituenta na hydroxylovej skupine v *p*-polohe aromatického jadra ako aj substitúciou v esterovej časti molekuly.

Ako experimentálne stanovené parametre lipofility látky *UPB-1* a *p-OHBA* boli určené retenčné faktory  $k'$ , resp.  $\log k'$  v sústavách s rozdielnym percentuálnym zastúpením metanolu ako súčasťou mobilnej fázy a rozdeľovacie koeficienty v troch rozdielnych rozdeľovacích systémoch. Rozdielna miera lipofility *UPB-1* a *p-OHBA* sa odzrkadlia v hodnotách  $\log k'$  v oboch systémoch (viď tab. 2 a 3); v 90 % metanole boli zistené takéto retenčné charakteristiky:  $\log k'_{UPB-1} = -0,071$ ;  $\log k'_{p-OHBA} = -2,153$ ; v 95% metanole boli získané tieto údaje:  $\log k'_{UPB-1} = 0,015$ ;  $\log k'_{p-OHBA} = -2,643$ .

Hodnoty  $\log P_{\text{exp}}$  pre *UPB-1* boli určené klasickou *shake flask* metódou; pre určenie koncentrácie látky vo vodnej fáze sa využila UV/VIS spektrofotometria. V rozdeľovacom systéme oktán-1-ol/TFR (oktán-1-ol je amfiprotínny *H*-donor a *H*-akceptor) predstavoval log  $P_{\text{exp}}$  hodnotu 1,70; v sústave heptán/TFR bola hodnota  $\log P_{\text{exp}} = 1,66$ ; a v systéme cyklohexán/TFR  $\log P_{\text{exp}} = 1,62$  (cyklohexán je relatívne inertný médiom oproti vodnému prostrediu, resp. TFR). Kyselina *p*-hydroxybenzoová je látkou hydrofilnejšou s  $\log P_{\text{exp}} = 1,37$ . Ten-to údaj bol prevzatý z literatúry<sup>13)</sup>, keďže nebolo možné korektnie *p-OHBA* rozpustiť v destilovanej vode, a tak stanoviť jej  $\log P_{\text{exp}}$  spôsobom *shake flask*.

V rámci projekcie a komplexného štúdia potenciálneho liečiva je dôležité určiť, či kandidát na liečivo je schopný prenikáť hematoencefalickou bariérou (blood-brain barrier, *BBB*). Relatívne vysoká miera schopnosti permeovať cez *BBB* je potrebná pri liečivách, ktoré majú cielene ovplyvňovať CNS. Na druhej strane nízka miera permeácie cez *BBB* je žiaduca pre minimalizáciu vedľajších účinkov spojených s ovplyvnením CNS. Kvantitatívne je možné tento stupeň vyjadriť ako pomer rovnovážnych koncentrácií substancie v mozgu ( $c_{\text{mozog}}$ ) a v krvi ( $c_{\text{krv}}$ ), t.j. ako  $\log(c_{\text{mozog}}/c_{\text{krv}})$  alebo  $\log BB$ <sup>14)</sup>. Rozdelenie látky do nepolárnych oblastí mozgu odzrkadluje hodnotu  $\log P_{\text{exp}}$  v systéme cyklohexán/TFR ( $\log P_{\text{exp},c}$ ), zatiaľ čo údaj  $\log P_{\text{exp}}$  stanovený v systéme oktán-1-ol/TFR ( $\log P_{\text{exp},o}$ ) vyjadruje väzbu na proteíny v periférnom krvnom riecišti<sup>15)</sup>. Vo všeobecnosti platí, že látka má tým hydrofilnejší charakter, čím je jej priemerná hodnota  $\log P_{\text{exp},o-c}$  (t.j. rozdiel medzi  $\log P_{\text{exp},o}$  a  $\log P_{\text{exp},c}$ ) pozitívnejšia; to znamená, že ochotnejšie tvorí vodíkové väzby, v menšej mieri preniká do nepolárnych oblastí moz-

gu a je v organizme distribuovaná prednose do krvi. Hodnota  $\log P_{\text{exp},o-c} = 0,08$  pre *UPB-1* teda indikuje, že tá minimálne prechádza cez hematoencefalickú bariéru do nepolárnych oblastí mozgu. Implementácia stanovených hodnôt príslušných rozdeľovacích koeficientov do Youngovho modelu<sup>16)</sup>, v rámci ktorého hodnota  $\log BB$  koreluje s  $\log P_{\text{exp},o-c}$  podľa vzťahu:  $\log BB = 0,889 - 0,485 \times \log P_{\text{exp},o-c}$  však priniesla jednoznačnejšie tvrdenie – hodnota  $\log BB$  pre *UPB-1* predstavovala 0,850. Na druhej strane sa však pre pomerne široké spektrum zlúčení Youngov model ukázal ako nevyhovujúci. Preto sa v predkladanéj práci použili aj iné, detailnejšie schémy predikcie schopnosti *UPB-1* prechádzať cez *BBB*.

Kaliszan<sup>17)</sup> navrhol pre koreláciu  $\log P_{\text{exp},o-c}$  a  $\log BB$  vzťah, v ktorom bola ako aditívna veličina implementovaná aj  $M_r$ :

$$\log BB = -0,088 + 0,272 \times \log P_{\text{exp},o-c} - 0,00112 \times M_r;$$

podľa tohto modelu je hodnota  $\log BB$  látky *UPB-1* -0,925.

Dôležitými faktormi ovplyvňujúcimi  $\log BB$  sú veľkosť a povrch molekuly ako aj tvorba vodíkových väzieb. Z týchto deskriptorov sa relatívne najväčší význam prisudzuje práve polárnemu povrchu molekuly (polar surface area, PSA), ktorý sa uplatňuje aj v modeloch Keldera<sup>18)</sup> charakterizovaného vzťahom:

$$\log BB = 1,330 - 0,032 \times PSA$$

( $\log BB$  pre *UPB-1* je -1,135) a Clarka<sup>19)</sup> definovaného nasledujúcou rovnicou:

$$\log BB = 0,550 - 0,016 \times PSA$$

( $\log BB$  pre *UPB-1* je -0,682).

Na báze Clarkovej metódy bol založený aj prístup Pana<sup>20)</sup>, predstavoval relatívne jednoduchý vzťah, v ktorom však pôvodne absentovali niektoré relevantné štatistické ukazovatele:

$$\log BB = 0,064 + 0,200 \times \log P_{\text{exp},o} - 0,010 \times PSA.$$

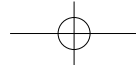
Pre *UPB-1* je podľa tohto modelu hodnota  $\log BB$  -0,366.

Podľa Abrahamovho a Weathersbyho modelu predikcie<sup>21)</sup>  $\log BB$  platí nasledovný vzťah:

$$\log BB = 0,119 + 0,350 \times \log P_{\text{exp},o} - 0,00502 \times M_r.$$

Po dosadení príslušných parametrov je hodnota  $\log BB$  v tomto prípade -0,920.

Niektoři autori implementovali do QSAR modelov predikujúcich  $\log BB$  aj schopnosť látky vytvárať väzby vodíkovým mostíkom. Feher<sup>22)</sup> navrhol nasledujúci model:  $\log BB = 0,4275 - 0,0017 \times PSA + 0,1092 \times \log P - 0,3873 \times n_{\text{acc}}$  v ktorom  $\log P = \log P_{\text{exp},o}$  a  $n_{\text{acc}}$  bol počet akceptorov vodíkov v molekule vo vodnom prostredí (pre bázickú formu *UPB-1* je to šesť akceptorov). Z tohto pohľadu bola hodnota  $\log BB$  pre *UPB-1* -1,842. Pri komplexnejšom pohľade na získané výsledky je možné predpokladať, že študovaná zlúčenina bude s vysokou



pravdepodobnosťou preferoval väzbu na proteíny krvného riečišta pred prechodom cez hematoencefalickú bariéru.

Hodnota  $\log P_{\text{exp o-h}}$  (rozdiel medzi hodnotami  $\log P_{\text{exp}}$  v systéme oktán-1-ol/TFR a v rozdeľovacej sústave heptán/TFR) predstavovala 0,04; to znamená, že študovaná zlúčenina je veľmi slabým donorom protónu.

Z hľadiska hodnotenia stability *UPB-1* v kyslom ako aj v zásaditom prostredí – kyselina chlorovodíková, hydroxid sodný; obe médiá s  $c = 0,1 \text{ mol.l}^{-1}$  – pomocou adsorpčnej chromatografie na tenkej vrstve možno konštatovať, že *UPB-1* nie je pri laboratórnej teplote v týchto prostrediaciach stabilná. Na chromatograme(-och) sa na „stĺpici“ *UPB-1* okrem jej „vlastnej“ škvŕny objavili v oboch prostrediaciach aj ohraničené škvŕny prislúchajúce jednak *p-OHBA* (ktorá bola zároveň nanášaná na chromatogram ako referenčná substancia), ako aj ďalším „štiepnym“ produkтом vznikajúcim pri rozklade *UPB-1* – zlúčeninám pracovne označeným ako „ $X_1$ “ a „ $X_2$ “. Pravdepodobne nastalo vplyvom príslušného prostredia parciálne štiepenie molekuly *UPB-1* v jej esterovej časti alebo v alkoxylovom zoskupení v lipofilnom fragmente (viď tab. 4). Pri hodnotení vplyvu UV/VIS žiarenia na vodný a metanolový roztok *UPB-1* bolo zistené, že v priebehu 1 h nedošlo k zmene hodnôt absorbančí pri jednotlivých absorpčných maximách a v časovom intervale 1 h ani k ich posunu.

Na „metodickú prípravu“ pre (prípadné) stanovenie obsahu *UPB-1* v konkrétnej liekovej forme alebo v telových tekutinách možno využiť UV/VIS spektrofotometriu alebo RP-HPLC. Látka *UPB-1* bola stanovená spektrofotometricky pri vlnovej dĺžke druhého absorpčného maxima, teda pri  $\lambda_{2\max} = 260 \text{ nm}$  (pre vodné prostredie), resp. pri  $\lambda_{2\max} = 258 \text{ nm}$  (pre prostredie metanolu). Na základe získaných údajov bola zostrojená kalibračná krivka, výsledkom stanovenia bolo formulovanie regresnej rovnice v tvare:  $y = 39187x + 0,0138$ ;  $R^2 = 0,9991$  (vodné prostredie, viď tab. 5); resp.  $y = 42139x + 0,0173$ ;  $R^2 = 0,999$  (metanolové prostredie, viď tab. 5). V prezentovaných rovniciach parameter  $y$  predstavuje absorbančiu,  $x$  vyjadruje koncentráciu stanovovanej látky v  $\text{mol.l}^{-1}$ .

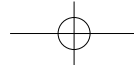
Pri výbere mobilnej fázy (MF) pri stanovení obsahu *UPB-1* pomocou RP-HPLC sa vychádzalo z vlastností rozpúšťadiel, ktoré sú uvedené v Rohrschneiderovom rade<sup>23)</sup>, kde sú zohľadnené nukleofilné, elektrofilné vlastnosti rozpúšťadiel a zároveň aj ich možnosti tvorby vodíkových väzieb s molekulami separovaných látok. Vhodnou MF pre delenie látky sa ukázal metanol 90 %. Regresná rovnica má nasledujúci tvar:  $y = 12141x + 0,1255$ ;  $R^2 = 0,993$ ; parameter  $y$  predstavuje pomer plôch píkov študovanej látky *UPB-1* a vnútorného štandardu (*p-OHBA*),  $x$  vyjadruje koncentráciu stanovovanej látky v  $\text{mol.l}^{-1}$ . Ďalšie parametre lineárnej regresie sú uvedené v tabuľke 7.

Experimentálne získané spektrálne a fyzikálno-chemické deskriptory charakterizujúce mono[3-[4-(2-etoxyetoxy)-benzoyloxy]-2-hydroxypropyl]-izopropylamónium]fumarát predstavujú cenný príspevok pre budúcu QSAR-analýzu v skupine ultrakrátka pôsobiacich antagonistov  $\beta_1$ -adrenergných receptorov. V ďalších štúdiach

sa bude pozornosť venovať spektrálnym identifikačným charakteristikám a stanoveniu fyzikálno-chemických konštánt štruktúrne podobných zlúčenín, v ktorých molekule bude, v porovnaní s *UPB-1*, modifikovaný alkoxylový refazec v lipofilnej časti a izopropylový fragment viazaný na atóme dusíka v bázickej časti molekuly.

## LITERATÚRA

- Yamakage, M., Iwasaki, S., Jeong, S.-W., Satoh, J.-I., Namiki, A.: Beta-1 selective adrenergic antagonist landiolol and esmolol can be safely used in patients with airway hyperreactivity. Heart and Lung 2009; 38, 48–55.
- Bekker, A., Sorour, K., Miller, S.: The use of cardioselective  $\beta$ -blockers in a patient with idiopathic hypertrophic subaortic stenosis and chronic obstructive pulmonary disease. J. Clin. Anesth. 2002; 14, 589–591.
- Jindal, D., Coumar, M. S., Nandakumar, K., Bodhankar, S. L., Purohit, P. G., Mahadik, K. R., Bruni, G., Collavoli, E., Massarelli, P.: Synthesis,  $\beta$ -adrenergic blocking activity and  $\beta$ -receptor binding affinities of 1-substituted-3-(2-isopropyl-5-methylphenoxy)-propan-2-ol oxalates. Farmaco 2003; 58, 557–562.
- Kitamura, A., Sakamoto, A., Inoue, T., Ogawa, R.: Efficacy of an ultrashort-acting  $\beta$ -adrenoceptor blocker (ONO-1101) in attenuating cardiovascular responses to endotracheal intubation. Eur. J. Clin. Pharmacol. 1997; 51, 467–471.
- Gray, R. J.: Managing critically ill patients with esmolol. An ultra short-acting beta-adrenergic blocker. Chest 1988; 93, 398–403.
- Atarashi, H., Kuruma, A., Yashima, M., Saitoh, H., Ino, T., Endoh, Y., Hayakawa, H.: Pharmacokinetics of landiolol hydrochloride, a new ultra-short-acting beta-blocker, in patients with cardiac arrhythmias. Clin. Pharmacol. Ther. 2000; 68, 143–150.
- Achari, R., Hulse, J. D., Drissel, D., Matier, W. L.: Pharmacokinetics of flestolol in man: preliminary data. Br. J. clin. Pharmac. 1985; 20, 691–694.
- Malík, I., Sedláčová, E., Čížmárik, J., Andriamainty, F., Csöllei, J.: Štúdium fyzikálno-chemických vlastností derivátov kyseliny 4-alkoxyfenylkarbámovej s bázickou časťou tvorenou substituovaným *N*-fenylpiperazínom. Farm. Obzor 2005; 74, 211–215.
- Slovenský liekopis, zväzok 1. 1. vyd. Bratislava: Herba 1997; s. 22.
- Malík, I., Sedláčová, E., Csöllei, J.: Analytické hodnotenie 1-(dipropylamino-3-piperidino-propán-1-yl)-3-pentyloxyfenylkarbamátu (CK-3635). Čes. a Slov. Farm. 2004; 53, 256–260.
- Databáza ZirChrom: Dissociation constants of organic acids and bases. <http://www.zirchrom.com/organic.htm> (29.11.2010)
- Databáza chemicalland21.com: *p*-Hydroxybenzoic acid. <http://www.chemicalland21.com/lifescience/phar/p-HYDROXYBENZOIC%20ACID.htm> (29.11.2010)
- UNEP Publications: 4-Hydroxybenzoic acid. CAS No: 99-96-7. <http://www.inchem.org/documents/sids/sids/99967.pdf> (29.11.2010)
- Fu, X.-Ch., Chen, Ch.-X., Liang, W.-Q., Yu, Q.-S.: Predicting blood-brain barrier penetration of drugs by polar molecular surface area and molecular volume. Acta Pharmacol. Sin. 2001; 22, 663–668.
- Tsai, R.-S., El Tayar, N., Carrupt, P.-A., Testa, B.: Physicochemical properties and transport behaviour of



- piribedil: Considerations on its membrane-crossing potential. *Int. J. Pharm.* 1992; 80, 39–49.
16. Young, R. C., Mitchell, R. C., Brown, T. H., Ganellin, C. R., Griffiths, R., Jones, M., Rana, K. K., Saunders, D., Smith, L. R., Sore, N. E., Wilks, T. J.: Development of a new physicochemical model for brain penetration and its application to the design of centrally acting H2 receptor histamine antagonists. *J. Med. Chem.* 1988; 31, 656–671.
  17. Kalisz, R., Markuszewski, M.: Brain/blood distribution described by a combination of partition coefficient and molecular mass. *Int. J. Pharm.* 1996; 145, 9–16.
  18. Kelder, J., Grootenhuis, P. D. J., Bayada, D. M., Delbressine, L. P. C., Ploemen, J.-P.: Polar molecular surface as dominating determinant for oral absorption and brain penetration of drugs. *Pharm. Res.* 1999; 16, 1514–1519.
  19. Clark, D. E.: Rapid calculation of polar molecular surface area and its application to the prediction of transport phenomena. 2. Prediction of blood-brain barrier penetration. *J. Pharm. Sci.* 1999; 88, 815–821.
  20. Pan, D., Iyer, M., Liu, J.: Constructing optimum blood barrier QSAR models using a combination of 4D-molecular similarity measures and cluster analysis. *J. Chem. Inf. Comput. Sci.* 2004; 44, 2083–2098.
  21. Abraham, M. H., Weathersby, P. K.: Hydrogen bonding. 30. Solubility of gases and vapors in biological liquids and tissues. *J. Pharm. Sci.* 1994; 83, 1450–1456.
  22. Feher, M., Sourial, E., Schmidt, J. M.: A simple model for the prediction of blood-brain partitioning. *Int. J. Pharm.* 2000; 201, 239–247.
  23. West, S.D., Mowrey, D. H.: Characterization of reversed-phase HPLC solvent selectivity for the prediction of adjusted retention indices and resolution. *J. Chromatogr. Sci.* 1991; 29, 497–502.

## NOVÉ KNIHY

Mučaji, P., Nagy, M. **Saponíny, výskyt, vlastnosti a možnosti využitia vo farmácií.** Martin: Osveta 2010; 136 s.

Recenzované dielo je u nás prakticky prvou monografiou o saponínoch, ktoré tvoria dôležitú skupinu obsahových látok približne v 100 čeľadiach rastlín.

Autori, páni doc. PharmDr. Pavel Mučaji, PhD. a prof. Ing. Milan Nagy, CSc., vysokoškolskí učitelia Katedry farmakognózie a botaniky Farmaceutickej fakulty Univerzity Komenského v Bratislave, sa v tomto diele po úvodných kapitolách venujú základným definíciam, klasifikácie a charakteristike najdôležitejších zástupcov saponínov, ďalej popisujú ich biosyntézu, hlavné vlastnosti a význam, aký hrajú tieto látky v živote rastlín.

V ďalšom popisujú drogy s obsahom saponínov, ktoré sú v Slovenskom liekopise v I. Vydaní, s expektoračným, diuretickým, antiexsudatívnym, adaptogénnym a protizápalovým účinkom. Následne potom pozornosť

venujú priemyselne významným saponínovým drogám a komplexne popisujú ich biologické účinky.

V závere monografie autori uvádzajú izoláciu, analýzu a stanovenie obsahu a identifikáciu saponínov.

Analýza obsahu monografie ukazuje, že je v nej vhodne dodržaná rovnováha medzi teoretickými poznatkami a praktickou aplikáciou využitia saponínov vo farmaceutickom, kozmetickom a potravinárskom priemysle s upozornením nielen na ich pozitívne, ale i negatívne účinky. Cenné sú aj informácie o saponínoch vyskytujúcich sa v morských živočíchoch, ktoré tvoria mimoriadne perspektívnu oblasť zdrojov nových látok z tejto skupiny. Pre svoju konzistentnú a komplexnú formu spracovania základných informácií a údajov som presvedčený, že táto monografia bude nenahraditeľnou príručkou vedeckých pracovníkov, doktorandov, ale i študentov pracujúcich a zaujímajúcich sa o tieto prírodné látky.

J. Čižmárik